

演習問題略解

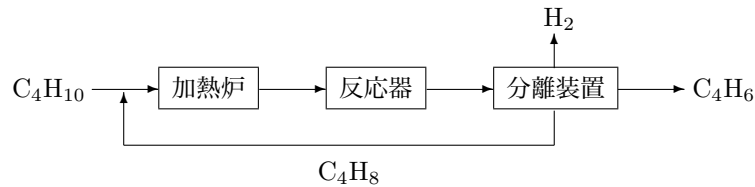
第1章

1.1 95 wt% エタノール水溶液 650.7 g と水 209.3 g.

1.2
$$\frac{du\rho}{\mu} = \Phi \left(\frac{d\rho\sigma}{\mu^2}, \frac{d^3\rho^2g}{\mu^2} \right).$$

1.3 計算できる. 過剰空気率 89%.

1.4 ①



②補給原料 C_4H_{10} 100 kmol h^{-1} を基準としたときのリサイクルされるブテン流量を $R [\text{kmol h}^{-1}]$ とすると、反応器まわりの物質収支の表は次のようになる。

成分	入量 [kmol h^{-1}]	生成量 [kmol h^{-1}]	出量 [kmol h^{-1}]	出量 [kmol h^{-1}]	組成 [kmol h^{-1}]
C_4H_{10}	100	-100	0	0	0
C_4H_8	R	$100 - 0.7(100 + R)$	$0.3(100 + R)$	42.86	12.5
C_4H_6	0	$0.7(100 + R)$	$0.7(100 + R)$	100	29.2
H_2	0	$100 + 0.7(100 + R)$	$170 + 0.7R$	200	58.3
合計				342.86	100.0

ブテンの出量がリサイクルされ入量となるから、 $R = 0.3(100 + R)$. したがって、 $R = 42.86 \text{ kmol h}^{-1}$.

③反応器出口ガス組成を表の右欄に示す.

1.5 必要なエンタルピーは 48.3 kJ. スチーム発生流量は 3.73 kg h^{-1} .

1.6 ①反応器に供給される原料 100 mol を基準とする. 反応器まわりの物質収支の表をかく.

成分	入量 [mol h^{-1}]	生成量 [mol h^{-1}]	出量 [kmol h^{-1}]
C_2H_4	54	$-54 \times 0.05 = -2.7$	51.3
H_2O	37	$-2.7 + 0.135 = -2.565$	34.435
I	9	0	9
C_2H_5OH	0	$2.7 - 0.27 = 2.43$	2.43
$(C_2H_5)_2O$	0	$0.27/2 = 0.135$	0.135

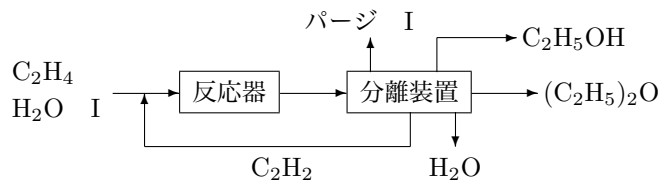
反応 (B) により消費されたエタノールを $x [\text{mol h}^{-1}]$ とすると、 $(2.7 - x)/2.7 = 0.9$. したがって、 $x = 0.27 \text{ mol h}^{-1}$.

② $\Delta H = \Delta H_2 - \Delta H_1 = -120.8 \text{ kJ h}^{-1}$.

③反応は熱反応だから、反応器を冷却して等温に保っている.

④エタノールの反応率が上がると、発熱量が増大する. また、副生成物エーテルの生成量も増大するため.

⑤不活性物質の蓄積を防ぐためにパージが必要になる可能性がある.



1.7 ① $T = 151.3 \text{ K}$.

② 液化するには, $T_r = 0.98$ の曲線が飽和蒸気線と交わる $p_r > 0.87$ となる必要がある. したがって, 圧力を 43.2 atm 以上にすればよい.

第2章

2.1 擬塑性流体: 高分子水溶液, 塑性流体: 絵の具, ケチャップ, 粘弾性流体: ホイップクリーム, 卵白, チクソトロピック流体: マーガリン, ケチャップ.

2.2 省略.

2.3 相当直径 $D_e = 0.615 \text{ m}$, 平均流速 $u = 2.78 \times 10^{-3} \text{ m s}^{-1}$, $Re = 1703 < 2100$. 層流状態.

2.4 限界流速 $u_c = Re_c \nu / D = 0.588 \text{ m s}^{-1}$, $\therefore Q = u_c \pi D^2 / 4 = 5.65 \times 10^{-4} \text{ m}^3 \text{ s}^{-1} = 2.04 \text{ m}^3 \text{ h}^{-1}$.

2.5 $u = (2gh)^{0.5} = 5.42 \text{ m s}^{-1}$, $\therefore T = (A_1/A_2)(2H/g)^{0.5} = 2766 \text{ s} = 46.1 \text{ 分}$.

2.6 省略 (例題 2.2 参照).

2.7 (例題 2.3 参照) $W = 155.4 \text{ J kg}^{-1}$, $\eta = (W\rho Q/W_P) \times 100 = 65\%$.

2.8 $\mu = 1.27 \times 10^{-3} \text{ Pa s}$, $Re = 27.3$.

2.9 摩擦速度 $u^* = 0.044 \text{ m s}^{-1}$.

	対数法則	指数法則
① $y = 0.225 \text{ m}$	1.01 m s^{-1}	1.05 m s^{-1}
② $y = 0.01 \text{ m}$	0.641 m s^{-1}	0.670 m s^{-1}
③ $y = 0.001 \text{ m}$	0.215 m s^{-1}	0.482 m s^{-1}

2.10 $u = 0.189 \text{ m s}^{-1}$, $Re = 4330$. 板谷の式より $f = 9.91 \times 10^{-3}$, ファニングの式より $\Delta p = 236 \text{ Pa}$.

2.11 ① $Re_x = 6.49 \times 10^4 < Re_{xc}$, 層流境界層, $\delta = 1.82 \times 10^{-3} \text{ m}$, $u = 7.41 \text{ m s}^{-1}$. ② $Re_x = 6.49 \times 10^5 < Re_{xc}$, 乱流境界層, $\delta = 2.54 \times 10^{-2} \text{ m}$, $u = 8.75 \text{ m s}^{-1}$.

2.12 $\delta^*/\delta = 1/8$. 乱流境界層の方が, 層内速度分布はよりシャープなものとなる.

2.13 $\mu = (d_p^2/18\nu)(\rho_p - \rho_1)g = 0.993 \text{ Pa s}$, $Re_p = \rho_1 d_p v/\mu = 0.10 < 2$.

2.14 $D = C_D(\rho v^2/2)S = 425 \text{ N}$, $v = (2D/\rho C_D S)^{0.5} = 29.1 \text{ m s}^{-1} = 105 \text{ km h}^{-1}$.

2.15 $Re = Du_0/\nu = 2.0 \times 10^4 > 10^3$, $\therefore St = 0.21$, $N_e = u_0 St/D = 1.68 \text{ s}^{-1}$.

2.16 すべて右側の液柱面の方が高くなる. h_1 は全圧, h_2 は動圧, h_3 は静圧. $h_1 = h_2 + h_3$.

2.17 $Q = \alpha A_0 (2\Delta p/\rho)^{1/2} = 0.014 \text{ m}^3 \text{ s}^{-1}$, $\alpha = 0.597 - 0.011m + 0.432m^2 = 0.658$ ($\therefore m = 0.39$), $Re = 1.11 \times 10^5$, $\therefore 10^5 < Re < 10^6$.

2.18 タフト法: 吹き流し, 髪の毛, 海底の海藻. トレーサー法: (流派法) たばこの煙.

2.19 長所: デジタル量として結果が得られるので処理しやすい. 理想的, あるいは非現実的な仮想実験も可能. 短所: モデルとして組み込まれた現象以外のものは予測されない. 信頼性 (精度, 誤差, 安定性) の検証に多大な労力を要する.

第3章

3.1 ①省略. ② $h = 3.1 \text{ W m}^{-2} \text{ K}^{-1}$. ③ 2.7 kg h^{-1} .

- 3.2 ① $Re = 1.57 \times 10^4$, $Nu = 46.4$. ② $h = 56 \text{ W m}^{-2} \text{ K}^{-1}$. ③ $T_2 = 60^\circ\text{C}$. ④省略.
- 3.3 $Q = 400 \text{ W}$.
- 3.4 ① $\bar{u} = 0.927 \text{ m s}^{-1}$. ② $de = 0.024 \text{ m}$. ③ $Re = 2.91 \times 10^4$. ④ $Pr = 5.12$, $Nu = 148$.
⑤ $h = 3.83 \times 10^3 \text{ W m}^{-2} \text{ K}^{-1}$.
- 3.5 $Q = 1.25 \times 10^3 \text{ W}$.
- 3.6 ① $\bar{u} = 9.59 \text{ m s}^{-1}$. ② $Re = 1.43 \times 10^4$. ③ $Nu = 43.3$. ④ $h = 45.3 \text{ W m}^{-2} \text{ K}^{-1}$. ⑤ $Re = 2.78 \times 10^5$.
⑥ $Nu = 9.39 \times 10^2$. ⑦ $h = 2.31 \times 10^4 \text{ W m}^{-2} \text{ K}^{-1}$. ⑧ 500 倍.

第4章

- 4.1 省略.
- 4.2 $W_{\min} = -\Delta G_{\text{mix}} = -(G_f - G_i) = -\{2 \ln 4/7 + 6(\ln 12/7 - \ln 4)\}RT = 15.37 \text{ kJ}$.
- 4.3 ヘキサンの液相組成 35.2%, ヘキサンの気相組成 57.1%, 液相量 32.4 mol, 気相量 67.6 mol.
- 4.4 $\alpha = 5.4$.
- 4.5 液流量 88.9 kmol h^{-1} , 蒸気流量 11.1 kmol h^{-1} .
- 4.6 4 段.
- 4.7 ① (a) $D = 178 \text{ mol h}^{-1}$, (b) $L = 356 \text{ mol h}^{-1}$, $L' = 556 \text{ mol h}^{-1}$, (c) $V = 534 \text{ mol h}^{-1}$, $V' = 334 \text{ mol h}^{-1}$. ② (a) $y = 2.5x/(1 + 1.5x)$, (b) $y = 0.67x + 0.32$, (c) $y = -x + 0.9$, (d) $y = 1.66x - 0.033$.
③ $x = 0.69$, $y = 0.85$. ④ $N_{\min} = 5.4 \rightarrow 6$. ⑤ $R_{\min} = 1.74$.
- 4.8 $\alpha = 1.5$: 所要理論段数はリボイラを含まずに 16.8 段, $\alpha = 1.1$: 70.9 段.
[ヒント: Fenske の式, Gilliland の相関に関する経験式]
- 4.9 ① $X = (p_{\text{NH}_3}/760)/(1 - p_{\text{NH}_3}/760)$, $Y = (18/17)C$ より,

$Y[\text{mol}_{\text{NH}_3}/\text{mol}_{\text{空気}}]$	0.044	0.101	0.176	0.279	0.427
$X[\text{mol}_{\text{NH}_3}/\text{mol}_{\text{H}_2\text{O}}]$	0.053	0.106	0.159	0.212	0.265

②物質収支 $G_{\text{空気}}(Y_o - Y_e) = L_{\text{H}_2\text{O}}(X_o - X_e)$ ((X_o, Y_o) は初期濃度, (X_e, Y_e) は平衡濃度) は, 点 (X_o, Y_o) を通り, 傾斜 $-L_{\text{H}_2\text{O}}/G_{\text{空気}}$ の直線となる (操作線). $Y_o = 0.30$, $G_{\text{空気}} = 7.7 \text{ mol}$, $X_o = 0.10$, $L_{\text{H}_2\text{O}} = 9.09 \text{ mol}$ を代入した操作線と①で得られた溶解度曲線の交点から, $Y_e = 0.195$, $X_e = 0.188$ となる.

[ヒント: X - Y 線図を描画すると理解しやすい]

- 4.10 ① $x_B = 5.64 \times 10^{-3}$, $y_T = 6.04 \times 10^{-4}$. ② $N_{\text{OG}} = 4.09$. ③ $Z = 2.86 \text{ m}$.
- 4.11 ① $y_T = 0.011$. ② $L = 12.54 \text{ mol m}^{-2} \text{ s}^{-1}$. ③ $y = 49.9x + 0.011$. ④ $N_G = 6.0$. ⑤ $Z = 4.20 \text{ m}$.
- 4.12 $V_{\text{mean}} = 1241 \text{ m s}^{-1}$, $\lambda = 96.8 \text{ nm}$, λ は圧力に反比例する.
- 4.13 水素/窒素 = 45.3%/54.7%.
- 4.14 海水の浸透圧: $\pi = 23.5 \text{ atm}$, スクロース溶液の浸透圧: $\pi = 2.2 \text{ atm}$.
- 4.15 $Q = 60 \mu\text{m}^3 \text{ s}^{-1}$, $R = 0.919$.

第5章

- 5.1 $r_{\text{H}_2} = -1.5 \times 10^2 \text{ mol m}^{-3} \text{ s}^{-1}$, $r_{\text{NH}_3} = 1.0 \times 10^2 \text{ mol m}^{-3} \text{ s}^{-1}$.
- 5.2 $r = k_2 K_1^{1/2} [C_A (C_B)^{1/2} - C_C C_D / K_1 K_2 K_3 (C_B)^{1/2}]$.
- 5.3 $k_{310\text{K}}/k_{300\text{K}} = 1.68$, 2 倍を示す $E = 53.6 \text{ kJ mol}^{-1}$.
- 5.4 $n = 1.8 \sim 2.0$, $n = 2$ のとき, $k = 1 \times 10^{-5} \text{ dm}^3 \text{ mmol}^{-1} \text{ s}^{-1}$.
- 5.5 [ヒント: 平衡定数を反応速度定数を用いて表現せよ]
- 5.6 $k = [1/t(1 + 1/K)] \ln \{1/[1 - (1 + 1/K)x]\}$.
- 5.7 $k = 8.52 \times 10^{-3} \text{ min}^{-1}$, $t_{90\%} = 270 \text{ min}$.

- 5.8 3.07 dm^3 .
- 5.9 $V = 2.45 \text{ dm}^3$, 5.45 dm^3 の管型反応器で転化率 $x = 88.7\%$.
- 5.10 $t = 1.4 \text{ h}$, $C_A = 246$, $C_B = 500$, $C_C = 254 \text{ mol m}^{-3}$.
- 5.11 ① 0.636, ② 0.788.
- 5.12 [ヒント：図 5.11 を考慮せよ]
- 5.13 $6.25 \text{ cm}^3 \text{ STP}$.
- 5.14 [ヒント：(5.62) 式の誘導手順を参照せよ]
- 5.15 127 g.
- 5.16 (a),(c)：表面反応律速, (b),(d)：拡散律速.
- 5.17 [ヒント：式 (5.69), (5.72), (5.75) を比較検討せよ]